CIMENTACIONES 74.11 GEOTECNIA APLICADA 94.09

https://campus.fi.uba.ar/course/view.php?id=1171

REPASO ESTRUCTURAS DE HORMIGÓN I





Diseño según ACI 318 - CIRSOC 201-05 (LRFD)

$$\frac{P_u}{P_d} \leq \underbrace{\phi P_n}_{P_d}$$

Determinación de las cargas Últimas

$$P_{u} = \begin{cases} 1.4 D \\ 1.2 D + 1.6 L \\ 1.2 D + 1.6 H \\ 0.9 D + 1.6 H \\ 1.2 D + 1.6 W \\ 0.9 D + 1.6 W + 1.6 H \end{cases}$$



Diseño según ACI 318 - CIRSOC 201-05 (LRFD)

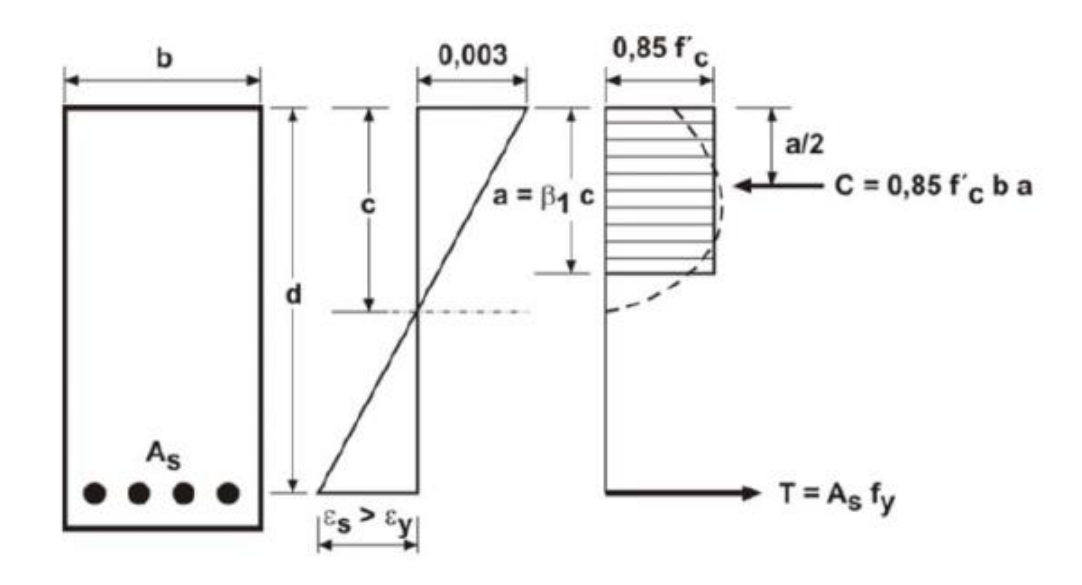
$$P_u \leq \phi P_n$$

Determinación de los coeficientes de reducción de resistencia:

Solicitación	Ø
Falla controlada por tracción	0.90
Falla controlada por compresión (estribos/zunchos)	0.65/0.70
Corte y torsión	0.75
Aplastamiento	0.65
Modelo de bielas	0.75



Teoría de flexión

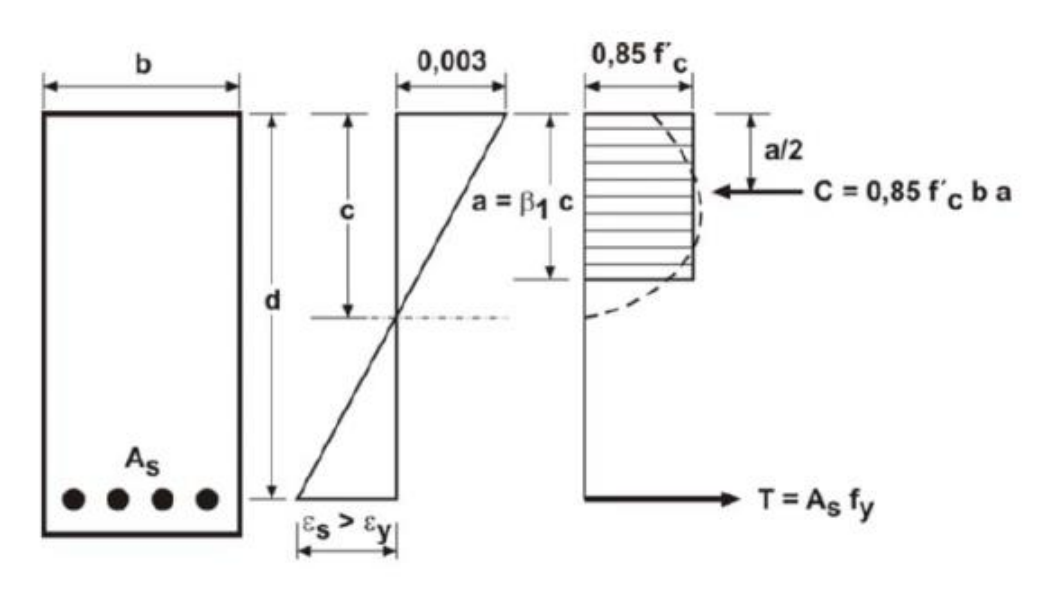


Hipótesis utilizadas en esta catedra:

- Sección rectangular
- Falla controlada por tracción
- Flexión simple
- Resistencia característica H-30
- Acero ADN-420



Teoría de flexión



Bajo estas hipótesis:

$$\sum Fh = 0 \qquad \Rightarrow \qquad T = C$$

$$\sum M = 0 \qquad \Rightarrow \qquad M = C \cdot \xi = T \cdot \xi \qquad \xi \approx 0.85 \cdot d$$

$$T_n = \frac{T_u}{\phi} \qquad T_n = C_n = \frac{M_u}{\phi \cdot 0.85 \cdot d}$$

$$A_s = \frac{T_n}{f_y} \cdot 1.20 \qquad A_s = \frac{M_u \cdot 1.20}{\phi \cdot 0.85 \cdot d f_y}$$





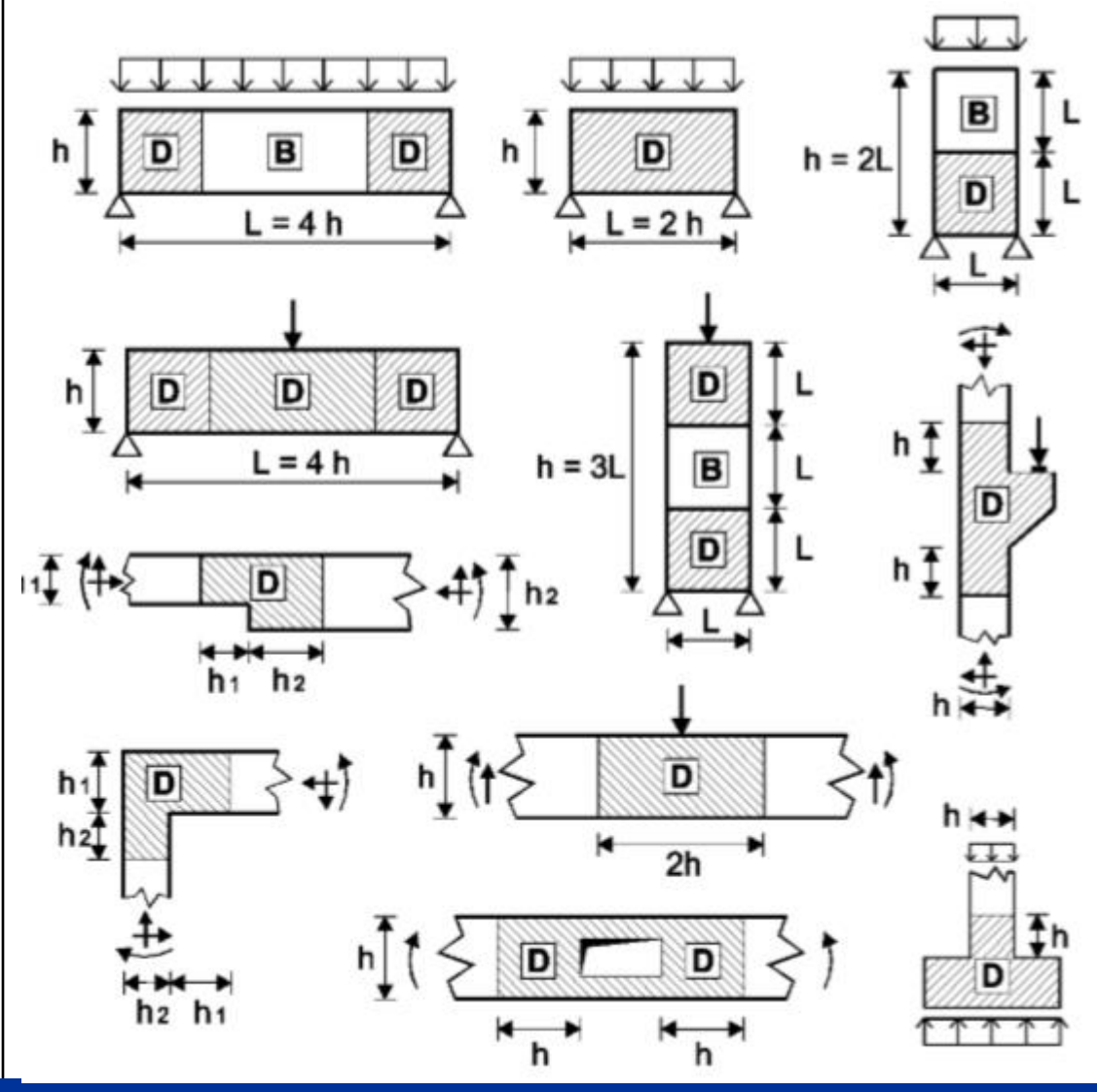
Si bien el método podría generalizarse a cualquier sector de una estructura, el reglamento CIRSOC 201-2005 los indica especialmente para el análisis de los sectores de una estructura en los que no se verifique la hipótesis de mantenimiento de las secciones planas, Regiones "B" ("Bernoulli"). Estos sectores reciben el nombre de Regiones "D" ("Disturbed").

Pasos propuestos para el diseño:

1. Definir y aislar cada una de las regiones "D" (Discontinuidades en función de la carga o discontinuidades geométricas);

Nota: La extensión de las zonas "D" podría determinarse a partir de la aplicación del principio de Saint Venant.







1. Definir y aislar cada una de las regiones "D" (Discontinuidades en función de la carga o discontinuidades geométricas);

Nota: La extensión de las zonas "D" podría determinarse a partir de la aplicación del principio de Saint Venant.

- 2. Determinar los esfuerzos resultantes que actúan sobre los bordes o frontera de cada una de las Regiones "D" (Acciones exteriores, Reacciones exteriores, Esfuerzos provenientes de regiones linderas);
- 3. Seleccionar el modelo de reticulado respetando equilibrio, resistencia y compatibilidad;



3. Seleccionar el modelo de reticulado respetando equilibrio, resistencia y compatibilidad;

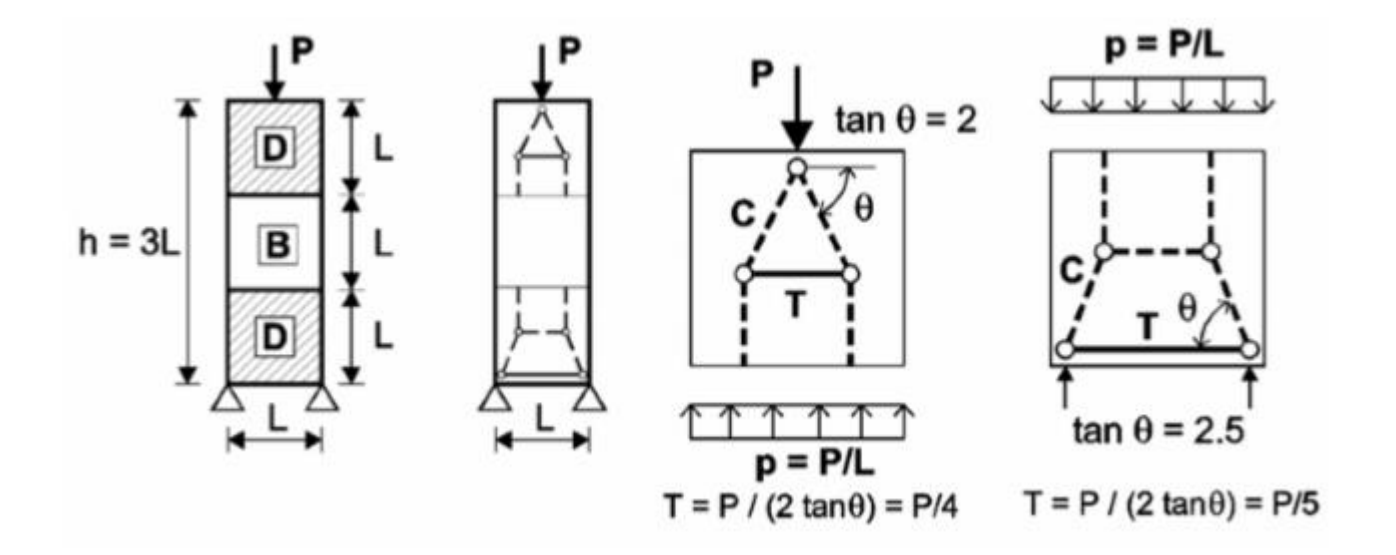
Nota: El reglamento indica algunas cuestiones de carácter general que tienden a garantizar en forma indirecta la compatibilidad:

- Los tensores pueden cruzar a los puntales;
- Los puntales no pueden cruzarse entre si aunque pueden encontrarse en los nodos;
- Los nodos se ubican en las zonas en que los esfuerzos internos experimentan cambios bruscos de dirección;
- El ángulo entre el eje de cualquier puntal y el eje de cualquier tensor que concurran a un mismo nudo no debe ser nunca menor que 25°.





Algunos ejemplos....





Verificación

$$F_u \leq \phi F_n$$

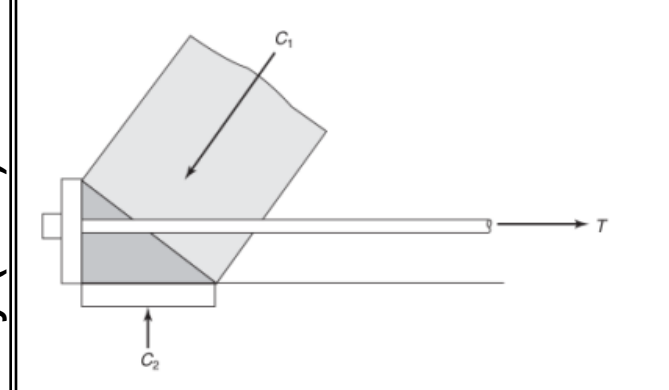
Donde,

- F_{μ} : Solicitación en un puntal, tensor o cara de una zona nodal calculada para cargas mayoradas;
- F_n : Resistencia nominal de un puntal, tensor o cara de una zona nodal;
- ϕ : Coeficiente de reducción de resistencia = 0.75





Zonas nodales



$$F_{un} \le \phi F_{nn}$$

$$F_{nn} = f_{ce} A_{nz}$$

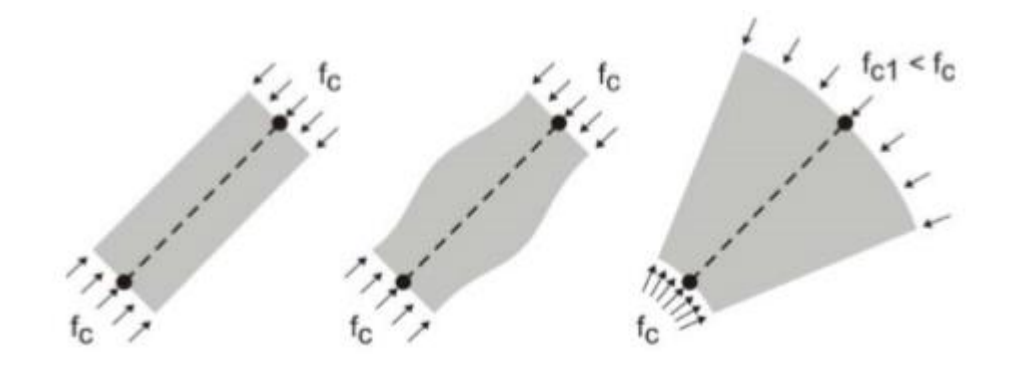
$$f_{ce} = 0.85 \beta_n f'_c$$

$$\beta_n = \begin{cases} 1.0 \text{ En zonas nodales limitadas por punt., areas de apoyo o ambas} \\ 0.8 \text{ En zonas nodales que anclan un tensor} \\ 0.6 \text{ En zonas nodales que anclan dos o mas tensores} \end{cases}$$





Puntales



$$F_{us} \le \phi F_{ns}$$

$$F_{ns} = f_{ce} A_{cs}$$

$$f_{ce} = 0.85 \beta_s f_c'$$

$$\beta_s = \begin{cases} 1.00 \\ 0.75 \\ 0.60 \end{cases}$$

Puntales de sección constante

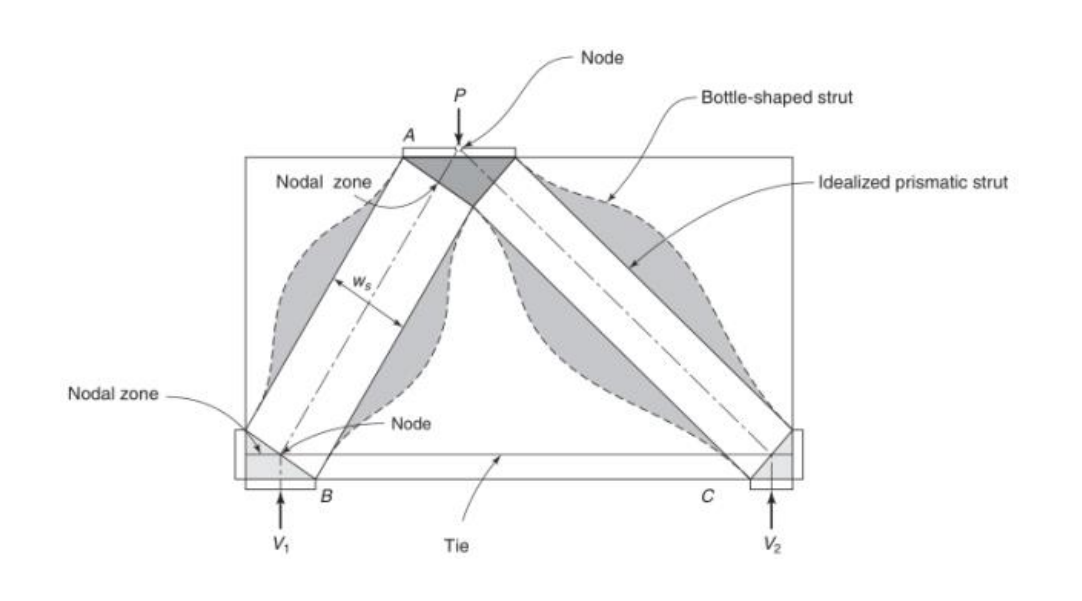
Puntales con forma de botella con y sin As para tomar tracciones de expansión lateral

Puntales que se encuentren en elementos traccionados





Tensores



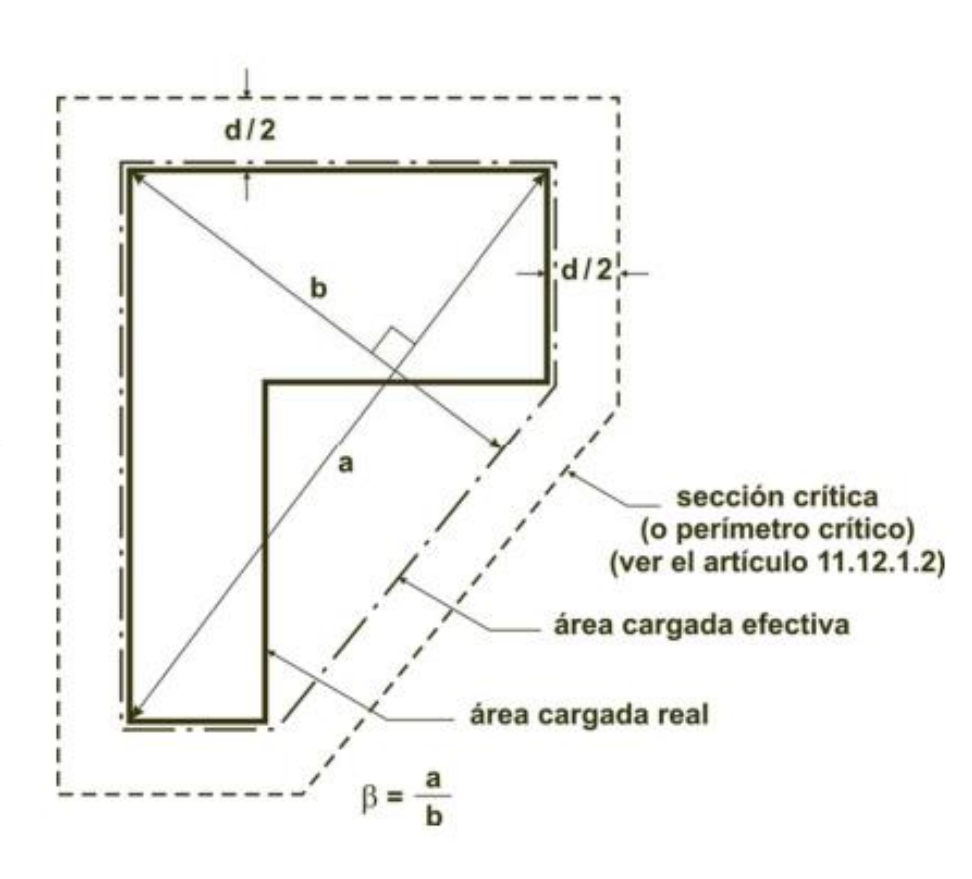
$$F_{ut} \le \phi F_{nt}$$
$$F_{nt} = A_{ts} f_{v}$$



Teoría de punzonado

 $V_u \le \phi V_c$ para elementos sin armadura de corte

 b_o = perímetro de sección crítica de corte, sin necesidad que supere la distancia d/2 respecto de bordes de su columnas, cargas concentradas, cambios de altura, etc.





Teoría de punzonado

$$V_{c} = min \begin{cases} \frac{\sqrt{f_{c}'} b_{o} d}{3} \\ \left(\frac{\alpha_{s} d}{b_{o}} + 2\right) \frac{\sqrt{f_{c}'} b_{o} d}{12} \\ \left(1 + \frac{2}{\beta}\right) \frac{\sqrt{f_{c}'} b_{o} d}{6} \end{cases}$$

 β = relación de lados de columna o carga

$$\alpha_s = \begin{cases} 40 \text{ para columna interior} \\ 30 \text{ para columna de borde} \\ 20 \text{ para columnas de esquina} \end{cases}$$





Resumen de Estados Límites

ESTADOS LÍMITES ÚLTIMOS

ESTADOS LÍMITES DE SERVICIO

Coef. de Seguridad PARCIALES (φ)

Combinaciones Últimas (1.4D, 1.2D+1.6L, 0.9D+1.6W, ...)

SE USAN PARA:

Cálculo de Armadura de Flexión

Cálculo de Armadura de Corte

Punzonado

Bielas y Tensores

Coef. de Seguridad ÚNICO (v)

Combinaciones de Servicio (D+L, D+W, D+0.7L+0.7W, ...)

<u>SE USAN PARA:</u>

Verificaciones Estabilidad (Volcamiento, deslizamiento,...)

Capacidad de Carga (suelos)

P_{serv} < P_{admisible}

Verificar Deformaciones



Bibliografía

Reglamento CIRSOC 201-2005



GRACIAS POR SU ATENCION !!!